

## □ 技術解説 □

# Echo제거를 위한 새로운 적응여파기

朴圭暎\*

### ■ 차례 ■

- 1. 서 론
- 2. 기존 Echo제거기
- 3. 자동이득제어 Echo제거기

- 4. 결 론
- 참 고 문 헌

## ① 서 론

기존의 전화설비를 이용하여 쌍방동시 데이터통신을 위하여서는 송신기와 수신기를 1조의선(2선)에 동시에 연결하여야 한다. 이러한 4선--2선 연결을 위하여 Hybrid Coil을 사용하여 이는 단순한 Wh-eastone Bridge이다. 이장치는 A측 송신기(그림 1 참조)로 부터의 신호가 A측 수신기로 가는것을 방지해 주며 이기능을 수행하기 위한 조건은 전화선의 임피던스와 Hybrid Coil 평형회로의 임피던스가 일치할때이다. 실제로 있어서 전화선의 거리, 온도의 함수이므로 이조건은 만족되기 어려우므로 A송신기로 부터의 신호는 A수신기로 들어오게되며 이를 Echo라 부른다.

Echo는 A수신기에서 점파하고자하는 신호에 합쳐져 점파를 방해한다.

일반적으로 그선을 이용한 A측 B측 동시 통신의 방법은 3가지로 분류된다.

- 주파수 분할방법
- 시분할 방법
- Echo 제거 방법

이들중 Echo 제거 방법이 가장 바람직하며 그이유는 양쪽방향(A에서B, B에서A)으로 전화선의 주파수대역(300—3.400Hz)을 다 사용할 수 있으며

이는 양방향 동시에 가장높은 속도의 통신을 할 수 있음을 의미한다. 그림 1에 도시한 바와 같이 Echo 제거기는 적응여파기를 사용하여 Echo의 copy를 만들어내어 A측 수신기에 들어온 신호(Echo + B측 송신신호+잡음)에서 빼줌으로서 간단히 Echo를 제거한다.

적응여파기 알고리즘을 디지털 프로세서에 Real time으로 처리하기 위하여서는 적응여파기 계수를 2진법으로 나타내는데 20여 bit가 필요하다.<sup>8)</sup> 이와같이 많은 bit가 필요한 이유는 Echo 및 원거리신호(B측 송신신호)의 진폭변화가 심하기 때문이다.

기존 Echo 제거기 성능의 훼손없이 bit수를 줄이기 위하여 새로운 알고리즘을 제안한다. 자동이득 조정기를 기존 Echo 제거기의 출력부분에 놓고 feed back loop를 사용하여 필요한 coupling을 허용함으로서 출력을 일정한 수준으로 유지하도록하여 bit를 줄인다.

제Ⅱ장에서는 기존 Echo 제거기의 원리에 대하여 언급하고 제Ⅲ장에서 새로운 알고리즘을 사용한 Echo 제거기에 대하여 기술한다.

## ② 기존 Echo제거기

### 1. 개괄

기존 Echo 신호 제거기의 구조는 그림 2와 같다. 높은 속도의 데이터 통신을 위하여 QAM(quadratic amplitude modulation)을 사용하여 송신할 데이터  $a_k^R$  및 복조후의 신호  $s_k$ 는 복소수량  $(a_k^R, a_k^I), (s_k^R, s_k^I)$ ,

\*正會員：韓國科學技術院 電氣 및 電子科 助教授·工博

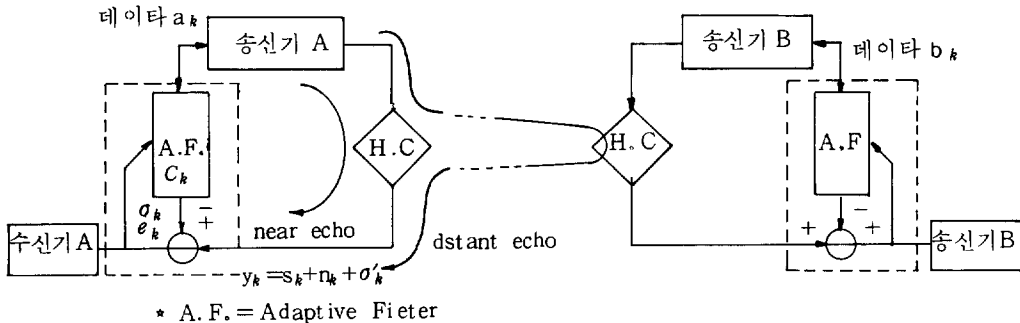


그림 1. Echo 제거기를 사용한 transmission system

$s_k^1$ )로 표시되며 채널잡음  $n_k$ , Echo  $\sigma_k^1$ , 및 수신 신호  $y_k (= s_k + n_k + \sigma_k^1)$ 도 각각 복소수량을 가진다. 이 논문에서는  $a_k = (\pm 1, \pm 1)$ 인 경우를 Simulation 하여 transmission rate는 1,200 baud로 가정한다 ( $T = 1 / 1,200 \text{ sec}$ )  $k$ 는  $kT$  시간을 나타낸다. 벡터  $C$ 를 표본화된 Echo 채널의 impulse response,  $C_k$ 를 적응여파기의 계수라 하면  $C_k$ 는 다음과 같이 정의된다.

$$C_k = (C_k^1, C_{k1}^1, \dots, C_k^K)^T \quad (1)$$

위식에서  $K$ 는 여파기계수의 개수이다. 데 이타 벡터  $A_k$ 는

$$A_k = (a_k, a_{k+1}, \dots, a_{k-K+1})^T \quad (2)$$

와 같다. 위식들에 의하여 Echo ( $\sigma_k'$ )와 적응여파기에 의해 copy 될 Echo ( $\sigma_k$ )는

$$\sigma_k' = C^T \cdot A_n, \quad \sigma_k = C_k^T \cdot A_k \quad (3)$$

로 표현된다. 이때 오차  $e_k$ 는

$$e_k = y_k - \sigma_k = s_k + n_k + r_k \quad (4)$$

이며  $r_k$ 는 잔류 Echo로서

$$r_k = \sigma_k' - \sigma_k \quad (5)$$

로 표현된다.

Echo 제거기의 성능을 측정하는 양으로서 다음과 같은 것을 정의한다.

$$A = E(|a_k|^2) \quad \text{송신 데 이타 power}$$

$$P = E(|\sigma_k|^2) \quad \text{Echo power}$$

$$S = E(|s_k|^2) \quad \text{원거리 신호 power}$$

$$B = E(|n_k|^2) \quad \text{채널 잡음 power}$$

$$R = \lim_{k \rightarrow \infty} E(|r_k|^2) \quad \text{잔류 Echo power}$$

$$N = \lim_{k \rightarrow \infty} E(|n_k + r_k|^2) \quad \text{Echo 제거기 출력 단의 잡음 power}$$

$$\rho_s = S / N \quad \text{출력 단의 신호—잡음비}$$

$$\rho_t = S / B \quad \text{입력 신호—잡음비}$$

## 2. Stochastic Gradient Algorithm

결국 Echo 제거기는  $e_k$ 를 최소로 하는  $C_k$ 를 구하는 것이 목적이며 이를 위해 식(6)에 표현된 MSE (mean square error)를 최소로 하는  $C_k$ 를 구한다.

$$E(|e_k|^2) = (|y_k - \sigma_k|^2) \quad (6)$$

우선 이론적인 분석을 위하여 다음과 같은 가정을 한다.

가정 1

Sequence  $\{ \dots, s_k, \dots \}$ ,  $\{ \dots, a_k, \dots \}$ ,  $\{ \dots, n_k, \dots \}$ 들은 centered, independent 하다.

가정 2

벡터  $A_k$ 는 벡터  $C_k$ 에 독립이다.

일반적으로 가정 1은 실제 시스템과 잘 부합되는 특성이며 가정 2는 이미 많은 사람들이 4), 5) 알고리즘 특성 분석에 사용하였고 또 이 가정을 사용한 이론적인 결과와 실제 결과가 잘 일치하고 있음이 증명되었다 2), 3), 6).

식(6)을 최소화하는  $C_k$ 를 찾기 위해 이미 잘 알려진 gradient 알고리즘을 사용하면<sup>4)</sup>

$$\nabla_{C_k} E(|e_k|^2) = -2E(e_k A_k^*) \quad (7)$$

$$C_{k+1} = C_k + \mu E(e_k A_k^*) \quad (8)$$

와 같은 알고리즘을 얻을 수 있으며  $\mu$ 는 상수로서 step-size 라 부른다. 실제 시스템에서 알고리즘 (8)을 사용하려면  $E(e_k A_k^*)$ 를 구해야하는 문제점이 있으므로 이기대치를  $e_k A_k^*$ 로 바꾸어 연속적인 iteration으로  $e_k A_k^*$ 는 통계적으로  $E(e_k A_k^*)$ 에 도달되므로 식(9)을 stochastic gradient algorithm이라 부른다.

$$C_{k+1} = C_k + \mu e_k \cdot A_k^* \quad (9)$$

식(9)의 모든 값들은 이제 실제적으로 접근할 수 있는 양임을 볼 수 있다.

### 3. 잔류 Echo power 및 $\mu$ 의 선택

많은 사람들은 4), 5), 6)에 의해 알고리즘(9)은 다음과 같이 빼터  $C$ 로 수렴함이 알려져 있다.

$$\lim_{k \rightarrow \infty} \sup E(|C_k - C|)^2 \leq r_0 \cdot \mu \quad (10)$$

위식에서  $r_0$ 는 상수이다.

가정 2를 이용하여  $R$ 을 계산하면

$$\begin{aligned} R &= \lim_{k \rightarrow \infty} E(|(C - C_k)^T A_k|^2) \\ &= A \cdot \lim_{k \rightarrow \infty} E(|C - C_k|^2) \end{aligned} \quad (11)$$

이고, 식(10)과 (11)로 부터 유도하면

$$R = \frac{\mu K}{2 - \mu K} \cdot A \cdot (S + B) \quad (12)$$

로 주어진다.

또 Echo 제거기 출력단에서의 신호-잡음비  $P_s$ 는 정의에 의해

$$P_s = \frac{E(|s_k|^2)}{E(|r_k|^2) + E(|n_k|^2)} = \frac{S}{R + B} \quad (13)$$

이 되며  $P_s$ 를 입력SNR 즉 S/B라 하면 식 (12), (13)에 의해

$$\mu = \frac{1}{K} \cdot \frac{P_s - P_o}{P_s \cdot P_o} \quad (14)$$

로 주어진 짐을 알 수 있다.

식(12)로 부터  $R$ 을 감소시키기 위해서는 ( $A, K, S, B$ 가 정해진 상황에서)  $\mu$ 를 감소시켜야 된다는 것을 알 수 있다. 그러나 너무 작은  $\mu$ 값을 사용하면 수렴속도의 감소와  $C_k$ 를 binary로 표현할 때 bit 수의 증가를 가져온다. 때문에  $\mu$ 의 선택은  $s_k$ 의 검파시에 발생되는 error rate  $P_e$ 가

$$P_e \leq 10^{-6} \quad (15)$$

를 만족시키는  $P_s$ 를 갖도록 하는  $\mu$ 를 최소값으로 정하는 것이 바람직하다.<sup>10)</sup>

$P_e$ 는 다음과 같은 식으로 주어진다.<sup>11)</sup>

$$P_e = erfc(\sqrt{P_o}) \quad (16)$$

$$erfc(x) \approx \frac{1}{\sqrt{2\pi}} e^{-x^2/2} dx \quad (17)$$

이 논문에서는  $K=55$ ,  $A=2$ ,  $P_o = 15 \sim 20 \text{ dB}$ 를 사용하였으며 식(14), (15), (16)으로 부터

$$\mu = 2^{-13} \quad (18)$$

이 됨을 알 수 있다.

### 4. 디지털 특성

디지털 Processor에 알고리즘을 integer arithmetic operation에 의해 실현하고자 할 때  $C_k$ 는 다음과 같이 2진법으로 표현된다.

$$2^{b_{max}}, 2^{b_{max}-1}, \dots, 2^0, \dots, 2^{-b_{min}+1}, 2^{-b_{min}} \quad (19)$$

위에서  $b_{max}, b_{min}$ 은 각각 MSB, LSB를 나타내며 총 필요한 bit 수,  $L_c$ 는 2 bit의, 부호를 포함하여

$$L_c = b_{max} + b_{min} + 2 \quad (20)$$

로 나타내어지며 (19)에서  $2^0$ 은  $a_k$ 의 실수 또는 허수의 절대치에 해당된다.

$L_c$ 를 구하기 위하여  $C_k$ 의 1 번째 계수를 생각하면

$$R_s(c_k) = R_s(c_k) + \mu R_s(e_k a_{k-1}) \quad (21)$$

이때  $b_{min}$ 은 다음식을 만족 하여야 한다.

$$|\mu R_s(e_k a_{k-1})| \geq \frac{1}{2} \cdot 2^{-b_{min}} \quad (22)$$

$|e_k \cdot a_{k-1}|$  이 RMS 값으로 대치 될 수 있다. 가정하면

$$\mu \cdot \sqrt{E(|e_k|^2 \cdot E(|a_{k-1}|^2 / 2))} \geq \frac{1}{2} \cdot 2^{-b_{min}} \quad (23)$$

를 얻을 수 있고 알리고즘이 충분히 수렴하여  $P_s \gg 1$ 이면

$$\mu \cdot \sqrt{S} \geq 2^{-b_{min-1}} \quad (24)$$

가 된다.

$b_{max}$ 는 Echo power를 표현하여야 하며 (19)에 의해 나타낼 수 있는 최고 값은  $2^{b_{max}} + 2^{b_{min}} - 2^{b_{max}+1}$ 이며 또 echo power의 변화 폭이  $-2\sqrt{P}, 2\sqrt{P}$  사이라 하면<sup>10)</sup>

$$2^{b_{max}} \geq \sqrt{P} / 2 \quad (25)$$

로 나타내어 진다.

식(20), (24), (25)에 의하여  $L_c$ 는

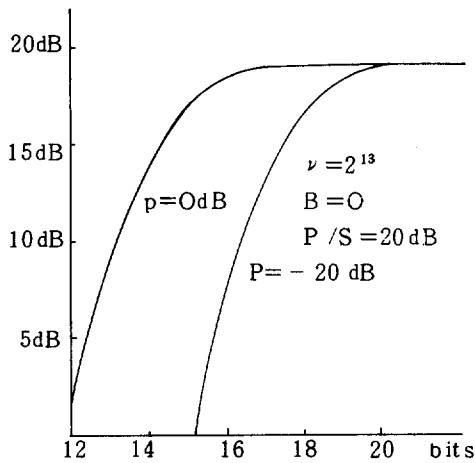
$$L_c \geq \log_2 \frac{1}{\mu} + \frac{1}{2} \log_2 \frac{P_{max}}{S_{min}} + \frac{1}{5} \quad (26)$$

로 표현된다. 이식으로부터 다음과 같은 결론을 얻을 수 있다.

\*  $\mu$ 를 감소 시킬 수록  $L_c$ 는 증가한다.

\*  $P_{max} / S_{min}$ 이 증가할 수록  $L_c$ 도 증가한다.  $P/S$ 가 20 dB를 넘지 않는 어떤 시스템을 생각할 때 2 가지 경우를 생각 할 수 있다.  $P=0 \text{ dB}$ ,  $S=-20 \text{ dB}$ ;  $P=-30 \text{ dB}$ ,  $S=-50 \text{ dB}$ 이 때  $P_{max} / S_{min}$ 은 50 dB이며

\*  $(P/S)_{max}=20 \text{ dB}$ 이다. 즉  $P$  및  $S$ 의 변동에 대

그림 2.  $P_S$  와  $L_c$  와의 관계

비하여 많은 bit를 할당시켜야 됨을 의미한다. 이렇한 사실들은 컴퓨터 시뮬레이션에 의해 서도 확인되었다.

### ● Simulation 1

$L_c$ 의 수에 따른 신호대잡음비  $P_S$ 의 영향을 관찰하기 위하여  $b_{max} = 0$ 로 하고  $P$  및  $S$ 를 변화시켰다.  $P/S$  및  $S/B$ 를 각각 20dB로 고정하고  $P=0$ ,  $P=-20$ dB의 경우를 각각 그림 2에 도시하였다. 처음경우  $L_c = 17$ bit, 두번째경우 21bits로서 식(26)에 잘 일치함을 볼 수 있다.

### ● Simulation 2

$L_c$ 를 16bit로 고정하고 ( $b_{max} = 0$ ,  $b_{min} = 14$ )  $P/S = 20$ dB,  $P_s = 16$ dB에 대하여 검토하였다.

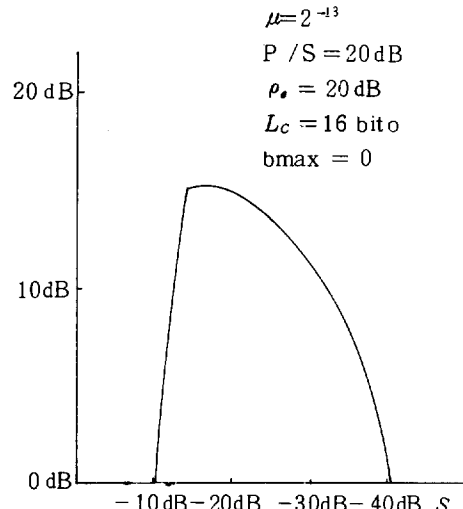
그림 3에  $S$ 의 변화에 따른  $P_S$ 를 보였다.  $P_S$ 는  $S$ 가 10dB 근처에서 급격히 0dB가 되며 또 -40dB 근처에서 0dB가 된다. 이그림에서 보는것과같이 기존 Echo 제거기는 신호수준의 변화에 대단히 민감함을 볼 수 있으며 이단점을 시정하기 위하여 새로운 algorithm을 제시한다.

## ③ 자동이득제어 Echo 제거기

### 1. 새로운 Echo 제거기

식 (24), (25)에 의해  $\mu$ 가  $2^{-13}$ 인 경우 다음과같은 관계를 얻을 수 있다.

$$2^{-12}\sqrt{S} \cong 2^{-b_{min}} \quad (27)$$

그림 3.  $L_c = 16$  bit 때의 기존 echo 제거기 특성

$$2^{b_{max}} \cong \sqrt{b_{max}} \cong \sqrt{P}/2$$

이 관계를 2진법 숫자표기로 나타내면 그림 4와 같다.

$$2^{b^M}, \dots, 2^{b_{max}}, \dots, 2^{b_{min}+12}, \dots, 2^{-b_{min}}, \dots, 2^{-b_{max}}/\sqrt{P/2}, \dots, \sqrt{S}, \dots, 2^{-12}\sqrt{S}, 2^{-12}\sqrt{S_{min}}$$

그림 4. bit 수와  $P_S$  와의 관계

이 그림에서  $b^M$ 은  $b_{max}$ 의 최고 값으로서  $P_{max}$ 에 대한 값이며  $b_m$ 은  $b_{min}$ 의 최고 값을 나타낸다. 실제 Echo 및 원거리신호의 크기가  $P$ ,  $S$ 일때  $b^M$ ,  $b_m$ 은  $P$  및  $S$ 의 fluctuation을 감안하여 필요한 bit이며  $P/S$ 가 어떤값이 상을 넘지 않을때 필요한 bit 수는 다음과 같다.

$$L_F = \log_2 \frac{1}{\mu} + \frac{1}{2} \log_2 (P/S)_{max} + \frac{1}{2} \quad (28)$$

즉  $P$ 의 값을 예측할 수 있다면  $L_c$  bit 대신에  $L_F$  bit를 사용할 수 있으며 이를 위하여 벡터  $C$ 를 다음과 같이 정의 한다.

$$C = F \cdot g \quad (29)$$

위 식에서  $F$ 는 그크기 (norm)이 1인 벡터이고  $g$ 는 스칼라로서 실수이며 Echo의 크기를 나타낸다. 즉  $F$  및  $g$ 는 다음 관계를 만족 한다.

$$\|F\|=1, g=\sqrt{P/2} \quad (30)$$

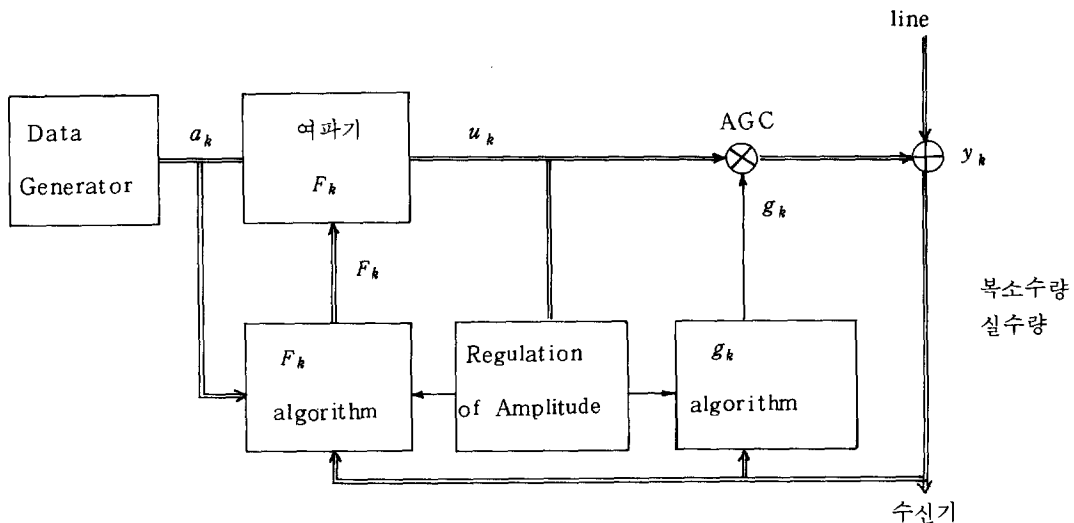


그림 5. 새로운 Echo 제거기 구조

이때  $F$ 는 방향벡터라 명명하며 다음과 같이 정의된다.

$$F = (f^0, f^1, \dots, f^{K-1})^T \quad (31)$$

마찬가지로 적응여파기의 계수벡터  $C_k$ 도 방향벡터  $F_k$  및 실수스칼라량  $g_k$ 로 정의하고 Echo를 재생하는 과정은 2단계를 거친다.

1 단계: 메이타 벡터  $A_k$  와 방향벡터  $F_k$ 의 Convolution으로  $U_k$ 를 얻는다.

$$U_k = F_k^T A_k \quad (32)$$

이때  $E(|U_k|^2)$ 은 값이 2가 되도록 조정함으로서 ( $|a_k|^2$ ) = 2

$$\|F_k\| = 1 \quad (33)$$

을 만족하도록 한다.

2 단계: Echo의 재생

$$o_k = U_k \cdot g_k \cdot * \quad (34)$$

이 Echo 제거기의 구조는 그림 5와 같다

## 2. New algorithm

$F_k$  및  $g_k$ 를 위한 알고리즘은 다음과 같다<sup>10)</sup>

$$F_{k+1} = F_k + \frac{\beta}{g_k} \cdot e_k \cdot A_k \cdot *, \quad (34-1)$$

$$g_{k+1} = g_k + \nu \cdot Re(e_k \cdot U_k \cdot *) \quad (34-2)$$

$$F_{k+1} = F'_{k+1} / \|F'_{k+1}\|, \quad (34-3)$$

$$g_{k+1} = g'_{k+1} \cdot \|F'_{k+1}\| \quad (34-3)$$

식 (34-3)은  $\|F_k\| = 1$ 을 만족시키기 위한 Operation이다.

New algorithm을 사용하였을 때의 잔류 Echo power  $R'$ 은 다음과 같이 정의된다.

$$R' \leq \lim_{k \rightarrow \infty} E(|o_k - g_k \cdot F_k^T \cdot A_k|^2)$$

$$= \lim_{k \rightarrow \infty} A \cdot E(|C - g_k \cdot F_k|^2) \quad (35)$$

수학적 해석을 위하여 가정 1 및 가정 3을 사용하였으며 가정 3은 가정 2와 동등하게 간주된다.

### 가정 3

벡터  $A_k$ 는 벡터  $F_k$  와  $g_k$ 에 독립이다.

위 가정 및 식 (35)에 의하여 계산하면 (참조 [10]) 그 결과는  $K \gg 1$ ,  $1 \gg \beta K$  일 때

$$R' = \frac{1}{2} (\beta K + \frac{\nu}{2}) \cdot A \cdot (S + B) \quad (36)$$

로 주어진다. 이로 부터 다음과 같은 사실을 알 수 있다.

- \* 잔류 Echo power는 step-size  $\beta$ 와  $\nu$ 를 줄임으로서 필요한 수준으로 내릴 수 있다.

- \* 벡터  $C_k$ 를  $F_k$  와  $g_k$ 로 분리함으로서 step size  $\nu$ 에 비례하는 양이 additive하게 증가한다.

- \* 기존 Echo 제거기에 대한 잔류 Echo power 증가율  $R'/R$ 은  $\beta = \mu$  때에  $1 + \frac{\nu}{2\mu K}$ 이고 일반적으

로  $\nu = \mu$ 로 택하여  $K \gg 1$  이므로  $R/R \approx 1$  이다. 즉 잔류 Echo power 의 증가는 무시 할 수 있는 양이다.

### 3. 디지털 특성

#### 3.1. $F_k$ 및 $G_k$ 에 필요한 bit수

식 (34-1)에 의해 벡터  $F_k$  의  $i$  번째  $f_k^i$ 에 대해

$$\operatorname{Re}(f_{k+1}^i) = \operatorname{Re}(f_k^i) + \frac{\beta}{g_k} \cdot \operatorname{Re}(e_k \cdot a_k \cdot e_k^*) \quad (37)$$

를 만족 한다. 알고리즘이 잘 수렴하였다면  $g_k$  는  $\sqrt{P/2}$ 의 값을 가지고  $b_{\min}$  은 식 (38)을 만족 한다.

$$\frac{\beta}{\sqrt{P/2}} |\operatorname{Re}(e_k \cdot a_k \cdot e_k^*)| \geq \frac{1}{2} \cdot 2^{-b_{\min}} \quad (38)$$

$\|F_k\| = 1$  을 만족 하므로  $b_{\max} = 0$  이며 앞장에서와 마찬가지 방법으로

$$L_F = \log_2 \frac{1}{\beta} + \frac{1}{2} \log_2 \frac{P_{\max}}{S_{\min}} + \frac{1}{2} \quad (39)$$

가된다. 식 (26) 과 비교하여 새로운 Echo 제거기 가 줄일 수 있는 bit  $L_c - L_F$  는

$$L_c - L_F = \frac{1}{2} \log_2 \frac{P_{\max}}{S_{\min}} - \log_2 (P/S)_{\min} \quad (40)$$

로 주어진다. 즉 bit 수를 줄일 수 있수 이유는  $(P/S)$

$\max$  은  $\frac{P_{\max}}{S_{\min}}$  보다 작다는 사실에 근거하며 이는 특히

원거리 (B 측 Hybrid coil 을 통하여 돌아오는 Echo)의 경우에 적용되는 사실이다 [10]. 실제적인 예로서

$P_{\max} = 0 \text{ dB}$ ;  $S_{\min} = -42 \text{ dB}$ ,  $(P/S)_{\max} = 20 \text{ dB}$  인 경우

$L_c = 21 \text{ bits}$ ,  $L_F = 17 \text{ bits}$  이며 약 20% 의 bit 수를 감소 시킨다.

$g_k$  에 대한 bit 수  $L_g$  는  $L_c$  와 같다.  $g_k$  는 real, scalar 량으로서  $a_k = U_k$ ,  $g_k$  계산에 한번 쓰이므로  $K$  개의 계수를 가진 벡터  $F_k$  에 의한 계산  $U_k$  에서의 이득을 생각하면  $L_g$  는 큰문제가 되지 않는다.

#### 3.2. 알고리즘의 실현

Division operation 을 digital hardware 에서 실현하는 것은 복잡하므로 algorithm(34) 를 직접 실현하는 데에는 문제 가 있다. 이를 피하기 위하여 우선 식 (34-1) 의  $g_k$  는  $\tilde{g}_k$  로 대치하여 다음을 만족하게 한다.

$$\tilde{g}_k = 2^{b_k}, 2^{b_k} \leq g_k \leq 2^{b_k+1} \quad (41)$$

또  $\|F_k\| = 1$  이면  $E(\|U_k\|^2) = 2$  이므로

표 1. Operation 수 비교

operation	기존 echo	새 echo	제거기
Multiplication	$4k + 2$	$4k + 7$	
Addition	$4k$	$4k + 4$	

로  $U_k$  를 관찰하여  $\|F_k\|$  를 조정한다. 즉  $U_k$  에 대한 기준값으로서

$$1 \leq E(\|U_k\|^2) < 4 \quad (42)$$

를 설정하며 이경우  $\|F_k\|$  는  $\sqrt{2}/2$  와  $\sqrt{2}$  사이의 값을 갖게된다. (42) 를 이용하여 (34-3)의 operation 은 다음과 같이 단순한 shift 로 대치한다.

$$E(\|U_k\|^2) \geq 4 \text{ 이면 } F_{k+1} = F'_{k+1}/2, g_{k+1} = 2$$

$$E(\|U_k\|^2) < 1 \text{ 이면 } F_{k+1} = F'_{k+1} \cdot 2, g_{k+1} = 2/2 \quad (43)$$

$$1 \leq E(\|U_k\|^2) < 4 \text{ 이면 } F_{k+1} = F'_{k+1}, g_{k+1} = g'_{k+1}$$

위와같이 향으로서 나누기는 모두 간단한 shift 로 변환하여 새 알고리즘 실현상의 문제점을 모두 제거되었다. 부가적 operation 은 기존 Echo 제거기와 비교하면 표 1에 보인 것과 같이 multiplication 이 5개, addition 이 4개가 늘어 나며  $K \gg 1$  이므로 부가적 operation 의 증가는 무시할 수 있다.

앞에서 기술한 실현 가능한 알고리즘을 simulation 을 통하여 특성을 검토 • 비교하였다.

#### Simulation 1

신호대 잡음비  $P_S$  와  $L_F$  의 관계를 알아보기 위하여  $P/S$  및  $P_e$  를 20 dB 로 고정하고  $L_F$  를 변화시켰다.  $S = -20 \text{ dB}$ ,  $-40 \text{ dB}$  인 경우를 관찰하여 그림 6에 도시하였다.

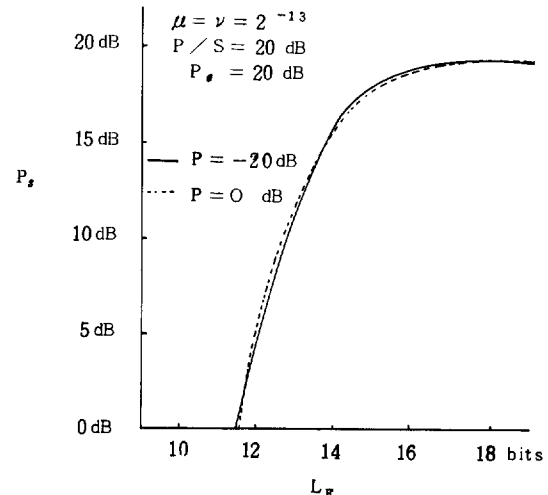


그림 6.  $L_F$  와  $P_S$  의 관계

식 (39)와 비교해 볼때 Simulation 결과와 잘 일치함을 볼 수 있다. 여기서 사용한 조건은 그림 3에 사용된 것들과 동일하여 새로운 echo 제거기는 ( $P / S$ )가 고정되었을 경우  $S, P$ 의 fluctuation에 독립적으로 잘 동작함을 볼 수 있다.

### Simulation 2

같은 수의 bit 가 주어졌을때 ( $L_c = L_f = 16$  bits)  $S, P$ ,  $P_e$  가 같은 조건 하에서 기존 및 새로운 Echo 제거기 특성을 비교검토 하기 위하여  $L_c = L_f = 16$  bits,  $b_{max} = 0$ 로 고정하였다. 그림 7에 보인것과 같이 새로운 Echo 제거기는  $S$ 의 변화에 관계없이  $P_s$  가 일정하지만 반면 기존Echo 제거기는  $S = -10, -40$  dB 근처에서  $P_s$  가 0에 도달함을 볼 수 있다. 기존 echo 제거기의 곡선을 새Echo 제거기와 같이 끌어올리려면 식 (26)에 의해 22 bit 가 필요하다.

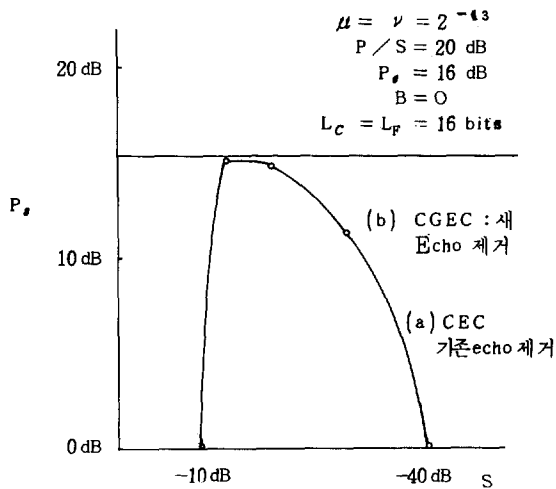


그림 7. 새 Echo 제거기와 기존 Echo 제거기의 비교

### Simulation 3

Convergence 특성을 보기 위하여 기존 및 새 Echo 제거기의 특성을 그림 8에 보였다. 수렴속도가 명백히 증가함을 볼 수 있다.

## 4 결 론

기존 Echo 제거기의 여파기계수를 binary representation 할때 bit 수를 줄이기 위하여 자동이득 조절기를 사용한 새로운 Echo 제거기를 제안하였다. 적

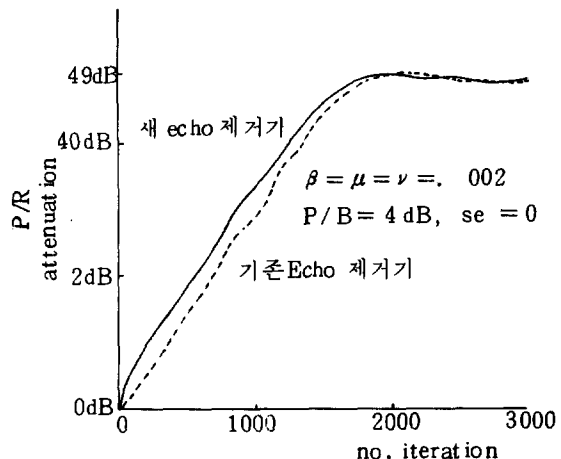


그림 8. echo 제거기의 수령특성 비교

응여파기 계수수가 55이고  $P_e = 16 \text{ dB}$ ,  $P/S \leq 20 \text{ dB}$  일때  $P \leq 0 \text{ dB}$ ,  $S > -42 \text{ dB}$ 인 경우 새echo제거기는 16 bits, 기존제거기는 20 bit로서 8 bit로 규격화된 디지털 Processor 또는 기억소자등을 사용하면 30 %의 bit 절약을 가져온다. 수학적 operation 은 대단히 경미하게 증가하여 수렴속도도 훨씬 빠르다.

## 참 고 문 헌

- 1) B. Widrow et al.; "Adaptive noise cancelling; principles and applications", proc. IEEE, Vol. 63, pp. 1962 - 1716, 1975.
- 2) K. H. Mueller; "A new digital echo canceller for two-wire full-duplex data transmission", IEEE Trans. Comm., Vol. COM- 24, pp. 956 - 962, 1976.
- 3) S. B. Weinstein "A passband data-driven echo canceller for pull-duplex transmission on two-wire circuits", IEEE Trans. Comm. Vol. COM-25, pp. 654-666, 1977.
- 4) C. Macchi, J. P. Jouannaud and O. Macchi: "Recepteurs adaptaifs pour transmission de donnees a grande vitesse", Ann. Telecom., Vol. 30, pp. 311 - 330, 1975.
- 5) O. Macchi ; "Resoluton adaptative de l'équation de Wiener-Hopf", Ann. Inst. Henri Poincaré, Vol. X , pp. 356 - 377, 1978.
- 6) G. Ungerboeck ; "Theory on the speed of co-

- nvergence in adaptive equalizers for digital communication", IBM J. Res. Dev., Vol. 16, pp. 546 - 555, 1972.
- 7) R. W. Lucky, J. Salz, E.J. Weldon; principles of Data Communications, Mac Graw Hill, N.Y., 1968
- 8) M. Bonnet, O. Macchi; "Choix d'un algorithme en precision finie pour annuleur d'écho ". To appear, Ann. Telecom. Revised version, dec. 1892.
- 9) N. A. M. Verhoeckx, H. Denelzen, F.A. Snijder, P. J. Van gerwen ; " Digital echo cancellation for base band data transmission ". IEEE Trans. ASSP, Vol. ASSP- 27, pp. 768 - 781, 1979.
- 10) K. H. Park, O. Macchi; "An echo canceller with reduced complexity", accepted to publish on IEEE Trans., on Communication, 1983,